

TD 01

Corrigé



Fauteuil dynamique de cinéma

Concours Centrale-Supélec TSI 2015

Savoirs et compétences :

Présentation du système

Mise en situation

Exigence fonctionnelle « amplifier la sensation d'accélération »

Comportement de l'ensemble variateur et moteur du dossier

Objectif

- Établir un modèle simplifié de l'asservissement de courant.
- Établir un modèle simplifié de l'asservissement de vitesse.
- Analyser la précision de l'asservissement de position.

Modélisation de l'asservissement de vitesse

Question 1 Exprimer la fonction de transfert de la boucle de vitesse $H_\Omega(p) = \Omega(p)/U_{C\Omega}(p)$, lorsque $C_R(p) = 0$. Le résultat sera mis sous une forme canonique.

Correction

$$\begin{aligned}
 H_\Omega(p) &= \frac{k_1 \left(1 + \frac{1}{T_1 p}\right) \frac{K}{K_{rI}} \frac{1}{Jp + f}}{1 + K_\Omega k_1 \left(1 + \frac{1}{T_1 p}\right) \frac{K}{K_{rI}} \frac{1}{Jp + f}} = \frac{k_1 (1 + T_1 p) K}{T_1 p K_{rI} (Jp + f) + K_\Omega k_1 (1 + T_1 p) K} \\
 &= \frac{\frac{K k_1}{K_\Omega k_1 K} (1 + T_1 p)}{\frac{T_1 K_{rI} J}{K_\Omega k_1 K} p^2 + \left(\frac{f T_1 K_{rI}}{K_\Omega k_1 K} + \frac{K_\Omega k_1 T_1 K}{K_\Omega k_1 K}\right) p + 1} \quad H_\Omega(p) = \frac{\frac{1}{K_\Omega} (1 + T_1 p)}{\frac{T_1 K_{rI} J}{K_\Omega k_1 K} p^2 + \left(\frac{f K_{rI}}{K_\Omega k_1 K} + 1\right) T_1 p + 1}
 \end{aligned}$$

Question 2 T_1 étant égal à J/f , montrer alors que la fonction de transfert en boucle fermée peut se mettre sous la forme $\frac{b}{\tau p + 1}$. Calculer les valeurs numériques des termes b et τ .

Correction

$$\begin{aligned}
 \text{On a } H_\Omega(p) &= \frac{\frac{1}{K_\Omega} \left(1 + \frac{J}{f} p\right)}{\frac{J}{f} \frac{K_{rI} J}{K_\Omega k_1 K} p^2 + \left(\frac{f K_{rI}}{K_\Omega k_1 K} + 1\right) \frac{J}{f} p + 1} = \frac{(f + Jp)}{\frac{K_{rI} J^2}{k_1 K} p^2 + \left(\frac{f K_{rI}}{k_1 K} + K_\Omega\right) Jp + f K_\Omega} \\
 &= \frac{(f + Jp) k_1 K}{K_{rI} J^2 p^2 + (f K_{rI} + K_\Omega k_1 K) Jp + f K_\Omega k_1 K} \\
 \text{On a : } \Delta &= (f K_{rI} + K_\Omega k_1 K)^2 J^2 - 4 f K_\Omega k_1 K K_{rI} J^2 = (f^2 K_{rI}^2 + K_\Omega^2 k_1^2 K^2 + 2 f K_{rI} K_\Omega k_1 K) J^2 - 4 f K_\Omega k_1 K K_{rI} J^2 \\
 &= (f^2 K_{rI}^2 + K_\Omega^2 k_1^2 K^2 - 2 f K_{rI} K_\Omega k_1 K) J^2 = (f K_{rI} - K_\Omega k_1 K)^2 J^2 \\
 \text{On a donc} \\
 p_{12} &= \frac{-(f K_{rI} + K_\Omega k_1 K) J \pm (f K_{rI} - K_\Omega k_1 K) J}{2 K_{rI} J^2},
 \end{aligned}$$

$$p_1 = \frac{-f J K_{rI} - K_{\Omega} k_1 K J + f J K_{rI} - K_{\Omega} k_1 K J}{2 K_{rI} J^2} = -\frac{K_{\Omega} k_1 K}{K_{rI} J}, p_2 = \frac{-f J K_{rI} - K_{\Omega} k_1 K J - f J K_{rI} + K_{\Omega} k_1 K J}{2 K_{rI} J^2} = -\frac{f}{J}.$$

On a donc

$$H_{\Omega}(p) = \frac{J \left(\frac{f}{J} + p \right) k_1 K}{\left(p + \frac{f}{J} \right) \left(p + \frac{K_{\Omega} k_1 K}{K_{rI} J} \right)} = \frac{J k_1 K}{p + \frac{K_{\Omega} k_1 K}{K_{rI} J}} = \frac{\frac{K_{rI} J^2}{K_{\Omega}}}{\frac{K_{rI} J}{K_{\Omega} k_1 K} p + 1}$$

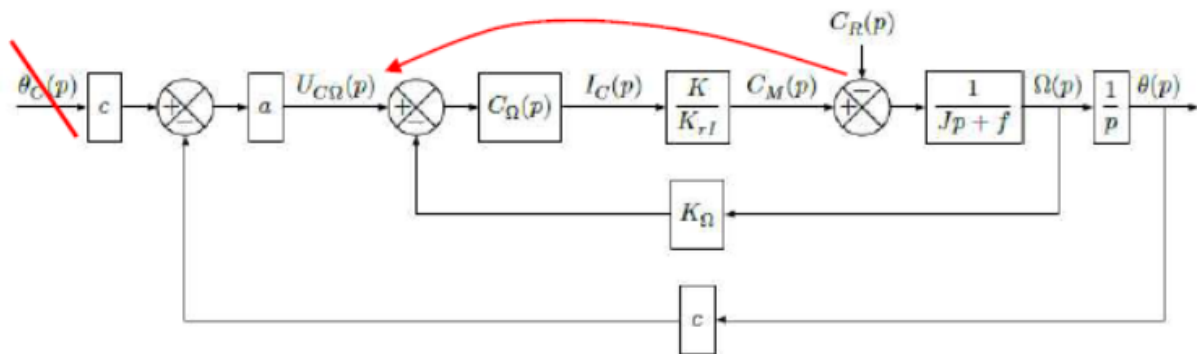
$$\text{On a donc } b = \frac{K_{rI} J^2}{K_{\Omega}} \text{ et } \tau = \frac{K_{rI} J}{K_{\Omega} k_1 K}.$$

$$\text{Autre solution : } b = \frac{1}{K_{\Omega}} = 20\pi = 62,8 \text{ rad s}^{-1} \text{V}^{-1} \text{ et } \tau = \frac{K_{rI} J}{k_1 K K_{\Omega}} = 2,17 \times 10^{-3} \text{ s}.$$

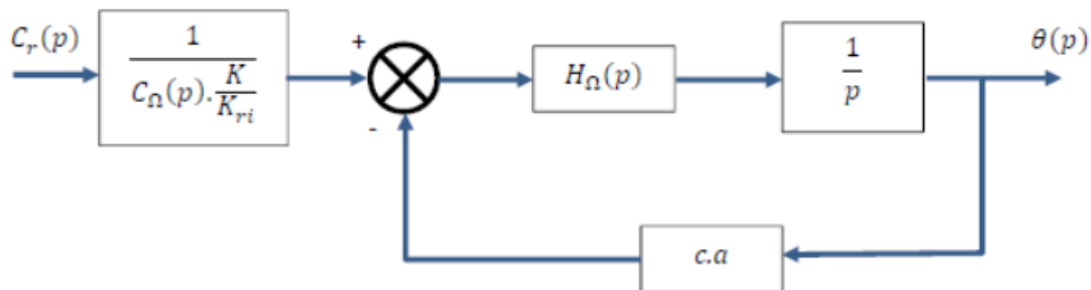
Question 3 En déduire, à l'aide de la figure précédente, $\theta(p)/C_R(p)$ lorsque $\theta_C(p) = 0$. Calculer ensuite la valeur finale de $\theta(t)$ lorsque $c_R(t)$ est un échelon unitaire. Conclure quant à l'action, en régime permanent, du correcteur proportionnel et intégral sur les effets d'une perturbation $c_R(t)$ de type échelon.

Correction

On effectue une transformation de schéma en déplaçant le comparateur de $C_r(p)$



D'où la nouvelle structure de schéma bloc :



$$\frac{\theta(p)}{C_r(p)} = \frac{1}{C_{\Omega}(p) \cdot \frac{K}{K_{ri}}} \cdot \frac{H_{\Omega}(p) \cdot \frac{1}{p}}{1 + c \cdot a \cdot H_{\Omega}(p) \cdot \frac{1}{p}} = \frac{K_{ri} \cdot T_1 \cdot p}{K \cdot k_1 \cdot (1 + T_1 \cdot p)} \cdot \frac{\frac{b}{1 + \tau p} \cdot \frac{1}{p}}{1 + \frac{b}{1 + \tau p} \cdot \frac{1}{p}}$$

L'application du théorème de la valeur finale pour une entrée de type échelon donne :

$$\theta(\infty) = \lim_{p \rightarrow 0} p \cdot \theta(p) = 0$$

Ce résultat était prévisible car le correcteur PI est placé avant la perturbation.

$$\frac{\theta(p)}{C_r(p)} = \frac{1}{C_{\Omega}(p) \frac{K}{K_{ri}}} \cdot \frac{\frac{b}{1 + \tau p} \frac{1}{p}}{1 + \frac{abc}{1 + \tau p} \frac{1}{p}} = \frac{1}{k_1 \left(1 + \frac{1}{T_1 p} \right) \frac{K}{K_{ri}}} \cdot \frac{\frac{b}{1 + \tau p} \frac{1}{p}}{1 + \frac{abc}{1 + \tau p} \frac{1}{p}}$$

$$= \frac{T_1 K_{ri} p}{k_1 (T_1 p + 1) K} \cdot \frac{b}{p(1 + \tau p) + abc}$$

et $\lim_{t \rightarrow \infty} \theta(t) = 1$.

Modélisation de la boucle d'asservissement de position

Question 4 Exprimer la fonction de transfert $\theta(p)/\theta_c(p)$. Déterminer ensuite la valeur numérique de a pour avoir un facteur d'amortissement égal à 0,7. Justifier le choix de ce facteur d'amortissement. (Pour ce calcul et les calculs suivants prendre $b = 63 \text{ rad} \cdot \text{s}^{-1} \cdot \text{V}^{-1}$, $\tau = 2,2 \text{ ms}$, $c = 40 \text{ rad}^{-1}$.)

Correction

$$\text{On a } \frac{\theta(p)}{\theta_c(p)} = c \frac{\frac{ab}{p(\tau p + 1)}}{1 + \frac{abc}{p(\tau p + 1)}} = \frac{abc}{p(\tau p + 1) + abc} = \frac{1}{\frac{\tau}{abc} p^2 + \frac{p}{abc} + 1}.$$

On a $\omega_0 = \sqrt{abc/\tau}$ et $\frac{2\xi}{\omega_0} = \frac{1}{abc}$ et $\xi = \frac{1}{2\sqrt{abc\tau}}$. En conséquence, $a = \frac{1}{4bc\tau\xi^2} = 0,092$. (On prend $\xi = 0,7$ car cela correspond au temps de réponse le plus rapide pour un second ordre.)

Analyse de la précision du système

Question 5 Exprimer dans un premier temps $\mu(p)$ en fonction de $\theta_c(p)$, puis déterminer de façon littérale et numérique l'erreur de position μ_p , l'erreur de trainage μ_v et l'erreur en accélération μ_a . Conclure quant à la précision statique du système suite aux différentes consignes $\theta_c(p)$ de type échelon, rampe et accélération.

Correction On a $\mu(p) = \frac{\theta_c(p)}{1 + \frac{abc}{p(1 + \tau p)}} = \frac{p(1 + \tau p)}{p(1 + \tau p) + abc} \theta_c(p) = \frac{p(1 + \tau p)}{p(1 + \tau p) + abc} \theta_c(p).$

La FTBO est de classe 1 et de gain $K_{BO} = abc$ on a donc :

- pour une entrée échelon, $\mu_p = 0$;
- pour une entrée rampe, $\mu_v = \frac{1}{abc}$;
- pour une entrée accélération, $\mu_a = \infty$.

Validation et optimisation de la performance simulée en accélération du dossieret

Objectif Valider la performance simulée en accélération au regard du cahier des charges fonctionnel.

Question 6 Déterminer l'erreur de position μ_p puis l'erreur de trainage μ_v . Conclure sur l'erreur de position au regard du cahier des charges.

Correction

$$\begin{aligned} \text{On a } \varepsilon_{\text{codeur}}(p) &= c\theta_c(p) - c\theta(p) \\ &= c\theta_c(p) - \frac{bc}{p(\tau p + 1)} U_{C\Omega}(p) = c\theta_c(p) - \frac{bc}{p(\tau p + 1)} (\theta_c(p)dp + a\varepsilon_{\text{codeur}}(p)) \\ \Leftrightarrow \varepsilon_{\text{codeur}}(p) \left(1 + \frac{abc}{p(\tau p + 1)} \right) &= \theta_c(p) \left(c - \frac{bcd}{\tau p + 1} \right) \\ \Leftrightarrow \varepsilon_{\text{codeur}}(p) \left(1 + \frac{abc}{p(\tau p + 1)} \right) &= \theta_c(p) c \frac{\tau p + 1 - bd}{\tau p + 1} \\ \Leftrightarrow \varepsilon_{\text{codeur}}(p) &= \theta_c(p) c p \frac{\tau p + 1 - bd}{p(\tau p + 1) + abc} \end{aligned}$$

On a alors :

- $\mu_p = \lim_{p \rightarrow 0} p \frac{1}{p} c p \frac{\tau p + 1 - bd}{p(\tau p + 1) + abc} = \lim_{p \rightarrow 0} c p \frac{\tau p + 1 - bd}{p(\tau p + 1) + abc} = 0$;
- $\mu_v = \lim_{p \rightarrow 0} p \frac{1}{p^2} c p \frac{\tau p + 1 - bd}{p(\tau p + 1) + abc} = \frac{1 - bd}{ab}$.

Question 7 D'après l'erreur de traînage μ_v déterminée à la question précédente, calculer la valeur numérique de d qui permet d'annuler cette erreur de traînage. En prenant en compte la valeur numérique de d et de b , déterminer l'expression de l'erreur en accélération μ_a . Calculer ensuite sa valeur numérique et conclure au regard du cahier des charges.

Correction On a $\mu_v = \frac{1-bd}{abc}$. En conséquences, $\mu_v = 0 \Leftrightarrow 0 = \frac{1-bd}{ab} \Leftrightarrow d = \frac{1}{b}$.

$$\mu_a = \lim_{p \rightarrow 0} p \frac{1}{p^3} c p \frac{\tau p + 1 - bd}{p(\tau p + 1) + abc} = \frac{\tau}{ab}.$$

Question 8 Conclure quant au respect du cahier des charges vis-à-vis des accélérations produites par le dossier du siège dynamique de cinéma.

Correction

Exigence fonctionnelle « incliner le spectateur suivant l'axe de tangage et de roulis »

Objectif Valider le choix de conception pour la réalisation de la commande simultanée des deux moteurs de l'assise du siège.

Question 9 En réutilisant éventuellement les calculs effectués aux questions 6 et 7 et en tenant compte des différences de réglage de retour vitesse et des différences d'inertie entre les deux motorisations, exprimer la valeur finale de $\theta_1(t) - \theta_2(t)$ lorsque la consigne $\theta_C(t)$ est respectivement égale à $u(t)$, $t \cdot u(t)$ puis $\frac{t^2}{2} u(t)$, $u(t)$ étant la fonction échelon unité.

Correction En raisonnant graphiquement, on a $\theta_1(p) - \theta_2(p) = \varepsilon_{\text{codeur 1}}(p) - \varepsilon_{\text{codeur 2}}(p)$; donc :

- $\mu_p = \mu_{p1} - \mu_{p2} = 0$;
- $\mu_v = \mu_{v1} - \mu_{v2} = \frac{1-b_1d}{ab_1} - \frac{1-b_2d}{ab_2}$;
- $\mu_a = \mu_{a1} - \mu_{a2} = \infty$.

La figure ?? représente le résultat d'une simulation de $\theta_1(t) - \theta_2(t)$ pour une consigne $\theta_C(t) = \frac{t^2}{2} U(t)$

Question 10 Conclure quant à l'erreur en accélération lors de la commande simultanée.

Correction